

380

CONGRESSO BRASILEIRO  
DE CERÂMICA

2º ENCONTRO DE MINERADORES  
E CONSUMIDORES

VOL. II

ANNAIS

UB/TIB Hannover 89  
115 961 046



Anais do 38º Congresso Brasileiro de Cerâmica  
18 a 21 de junho de 1994 - Blumenau - SC

**CARACTERIZAÇÃO ELÉTRICA E ESTRUTURAL DE CERÂMICAS  
SUPERCONDUTORAS BSCCO PREPARADAS COM CONTROLE  
GRANULOMÉTRICO DOS PÓS PRECURSORES.**

C.CARVALHO<sup>1</sup>, D.I.SANTOS<sup>2</sup>,E.A.A.RUBO<sup>2</sup>,M.A.AEGERTER<sup>3</sup>

1)DEPARTAMENTO DE CIÊNCIAS - UNESP - ILHA SOLTEIRA

2)DEPARTAMENTO DE FÍSICA - UNESP - BAURU

3)DEPARTAMENTO DE FÍSICA E CIÊNCIAS DOS MATERIAIS - IFQSC - USP 13560-970 - SÃO  
CARLOS - CAIXA POSTAL 369

**RESUMO**

Apresentamos resultados do controle granulométrico do pó usado na fabricação de pastilhas supercondutoras de alta temperatura crítica  $T_c$ . O pó é obtido pelo método de co-precipitação de oxalatos dos elementos que constituem o sistema Bi:Sr:Ca:Cu:O, segundo a composição nominal (2:2:2:3) e, após vários estágios de calcinação, os grãos de tamanhos 40-120 $\mu\text{m}$  são submetidos a uma separação de tamanho por encirculação. A caracterização elétrica e estrutural das pastilhas, foi feita usando a técnica de resistividade elétrica (método das quatro pontas DC), densidade de corrente, microscopia eletrônica de varredura, análise de energia dispersiva e difração de raios-X. As pastilhas feitas com grãos de dimensão média de 40 $\mu\text{m}$  apresentaram temperatura crítica  $T_c \geq 110\text{K}$ , compatível com a fase (2:2:2:3) e, densidade de corrente elétrica da ordem de 50 A/cm<sup>2</sup> à 5K.

**ELECTRIC AND STRUCTURAL CHARACTERIZATION OF BSCCO  
SUPERCONDUCTOR CERAMIC PREPARED WITH GRANULOMETRIC  
CONTROL OF PRECURSORS.**

**ABSTRACT**

Results are shown of grain control of powder used in the fabrication of high temperature superconductors (HTSC)pellets. The powder was obtained using co-precipitation of oxalates of the elements composing the Bi:Sr:Ca:Cu:O system, with nominal composition (2:2:2:3). After various calcinations the grains of sizes 40-120 $\mu\text{m}$  were separated using sieves of appropriate mesh. The electric and structural characterization of pellets was made using electrical resistivity technique (DC FOUR PROBE), transport current density, scanning electron microscopy(SEM) and, X-ray diffraction (XRD). The chemical composition was studied with energy dispersive X-ray microanalysis (EDX). The pellets made with grains having average diameter about 40  $\mu\text{m}$  show critical temperature  $T_c \geq 110\text{K}$ , compatible with the phase (2:2:2:3) and current density about 50 A/cm<sup>2</sup> at 5K.

## Anais do 38º Congresso Brasileiro de Cerâmica 18 a 21 de junho de 1994 - Blumenau - SC

### INTRODUÇÃO

Os materiais supercondutores de maneira geral têm apresentado uma evolução extremamente rápida desde as primeiras descobertas por Kamerling Onnes com o mercúrio à 4.2K [1].

Atualmente, existem materiais cerâmicos supercondutores que têm temperaturas críticas  $T_c$  que ultrapassam 110K como é o caso da fase (2:2:2:3) do sistema Bi:Sr:Ca:Cu:O, entretanto, escolhemos esse material por suas vantagens com relação a baixa sensibilidade a umidade e toxicidade [2]. Sabemos que, os materiais supercondutores são de extrema importância para o desenvolvimento científico e tecnológico como pode ser visto em suas diversas áreas de aplicações [3], mas ainda, apresentam algumas restrições, tais como a temperatura de transição supercondutora e a densidade de corrente elétrica, que têm sido os alvos principais das pesquisas atuais [4].

Várias técnicas têm sido utilizadas na obtenção destes materiais, tais como reações de estado sólido(método convencional), reações em meios aquosos utilizando acetatos, nitratos e oxalatos [5,6,7]. As soluções em meio líquido tem apresentado resultados interessantes, pois as misturas são mais homogêneas e as partículas que a compõem são menores quando comparadas ao método convencional.

Neste trabalho, preparamos uma solução com acetatos e nitratos contendo os elementos bismuto,estrôncio, cálcio, cobre e chumbo que constituem o sistema Bi:Sr:Ca:Cu:O, na estequiometria (2:2:2:3) e cuja temperatura crítica é 110K. Usando a técnica de co-precipitação de oxalatos [7,8], obtivemos um pó que foi submetido a vários estágios de calcinação. Apresentamos um estudo das características elétricas, estruturais e química de uma série de pastilhas supercondutoras lubricadas com este pó e cujos grãos foram selecionados na faixa 40-120 $\mu\text{m}$ , usando a técnica de peneiração.

### PROCEDIMENTO EXPERIMENTAL

Uma solução de ácido acético contendo quantias adequadas de acetatos de bismuto, cálcio, cobre e nitratos de estrôncio e chumbo (sistema (Bi;Pb):Sr:Ca:Cu) foi preparado com a estequiometria (1.6;0.4):2:2:3. Usando-se a técnica de co-precipitação de oxalatos obtivemos um pó que foi triturado num almofariz de ágata e submetido a vários estágios de calcinação sempre intercalado por triturações. O pó resultante foi peneirado usando-se peneiras com 4 diferentes malhas (mesh#120,200, 325 e 400). Uma pequena quantidade de cada pó resultante de cada peneiração foi usado na fabricação das pastilhas entituladas A, B, C e D (com dimensões abaixo de 37, 44, 74 e 117 $\mu\text{m}$  respectivamente), os pós foram prensados à frio numa prensa Schulz, aplicando-se 9 Ton. resultando pastilhas com diâmetro de aproximadamente 20 mm e espessura 1.0 mm.

As pastilhas foram sinterizadas à 840°C/100 h num forno EDG-1700°C, onde as taxas de aquecimento e resfriamento foram de 120°C/h e 300°C/h respectivamente.

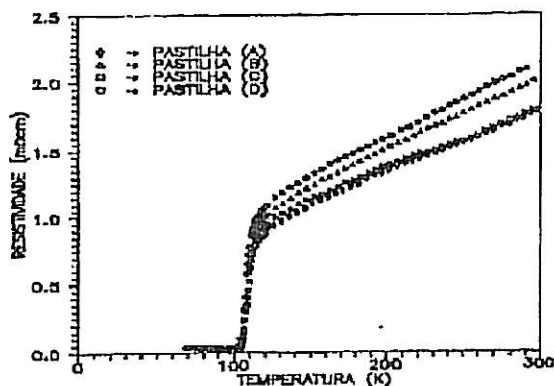
As pastilhas foram divididas em várias partes para realizar as caracterizações estrutural elétrica e química. As caracterizações, estrutural e química foram feitas num microscópio eletrônico de varredura Zeiss DSM 960 que possui recursos para microanálise de energia dispersiva de raios-X (EDX); as fases cristalográficas foram identificadas usando um difratômetro de raios-X Rigaku RU-200B com filtro CuK $\alpha$ . As medidas de resistividade e densidade elétricas foram feitas usando o método das quatro pontas onde, os eletrodos foram fixados às amostras através de tinta prata condutora (Degussa). Uma fonte de corrente estável modelo 228A e um nanovoltímetro modelo 181, ambos da Keithley Instruments foram conectados a um microcomputador do tipo AT 286 para aquisição automática dos dados. As amostras foram resfriadas desde a temperatura ambiente até 4.2K mergulhando-as num reservatório de hélio líquido. O controle de temperatura foi feito através de um sensor criogênico Lake Shore DT470SD.

### RESULTADOS E DISCUSSÃO

A figura 1 mostra as curvas de resistividade em função da temperatura para as pastilhas A, B, C e D que foram submetidas a um tratamento térmico de 840°C durante 100 h. Notamos que existe uma ligeira diferença entre as temperaturas de início de transição supercondutora onde  $T_{\text{onset}}^A \approx 120\text{K}$ ,  $T_{\text{onset}}^B \approx 117\text{K}$ ,  $T_{\text{onset}}^C \approx 115\text{K}$  e  $T_{\text{onset}}^D \approx 112\text{K}$ , mas todas elas possuem o mesmo  $T_c \approx 105\text{K}$ . A resistividade de cada pastilha

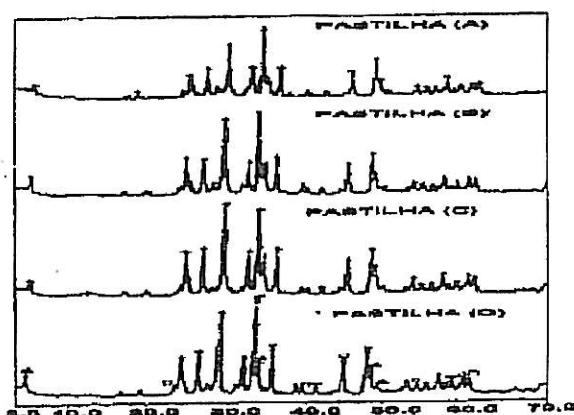
**Anais do 38º Congresso Brasileiro de Cerâmica**  
**18 a 21 de junho de 1994 - Blumenau - SC**

À temperatura ambiente mostra pequenas variações de 0.15 mΩcm entre elas, devido a variações das dimensões das mesmas. Entretanto a resistividade e a temperatura crítica não foram influenciadas pela variação no tamanho de grãos usado na fabricação das pastilhas.



**Figura 1.** Resistividade em função da temperatura das pastilhas A, B, C e D submetidas à uma corrente de 1mA.

Na figura 2 mostramos os difratogramas das pastilhas. Segundo Matheis et al[9] temos uma maior porcentagem da fase (2234) em todas as pastilhas e uma mistura de outras fases. O pico à 4.5 indica a presença da fase (2223) com  $T_c$  110K [2] que é compatível com os resultados da resistividade elétrica.



**Figura 2.** Difração de raios-X das pastilhas A, B, C e D com os picos das fases supercondutoras (2201)(V), (2212)(O), (2223)(Δ) e (2234)(□) indexados segundo Matheis et al[9].

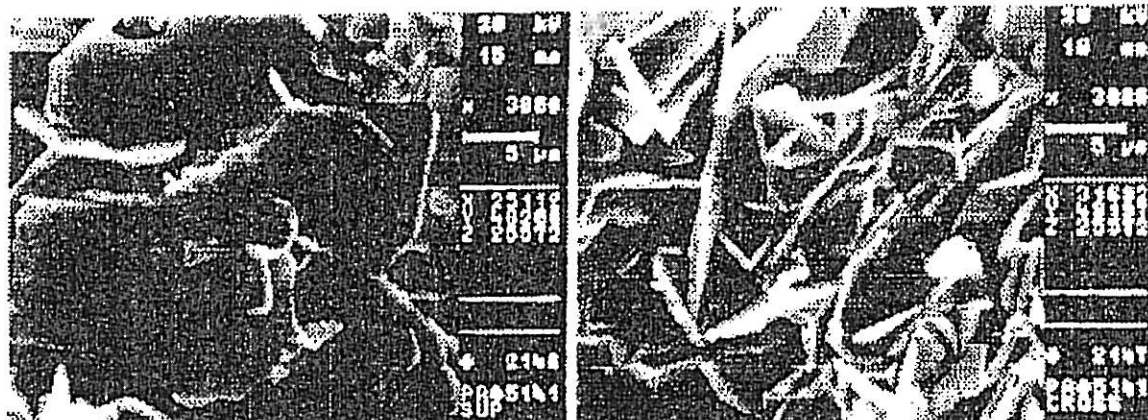
**Anais do 38º Congresso Brasileiro de Cerâmica  
18 a 21 de junho de 1994 - Blumenau - SC**

As análises realizadas no microscópio eletrônico (SEM/EDX) de grandes da superfície e de regiões de fratura de todas as pastilhas mostram a existência de algumas ilhas de material segregado e indica que  $\text{Bi}_{2-x}\text{Pb}_x\text{Sr}_1-x\text{Cu}_1-x\text{O}_n$  é uma possível composição química média dessas amostras. A pastilha B apresenta a menor concentração de chumbo, tanto numa análise global quanto em pequenas regiões. Em todos as pastilhas verificou-se a presença de placas, que é características do sistema BSCCO[4]. A figura 3a mostra a estrutura de placas da superfície da pastilha (B) e a figura 3b mostra uma fratura desta mesma pastilha. Podemos ver no primeiro caso que existe uma ligeira tendência das placas ( $\geq 10 \mu\text{m}$ ) se orientarem paralelamente à superfície. Essa orientação é favorável ao transporte de corrente, que é preferencial no plano no plano Cu-O, ou seja, paralela as placas. Medidas de densidade de corrente mostraram  $50\text{A}/\text{cm}^2$  para a pastilha B, esse foi o maior valor obtido entre todas as outras pastilhas(vide Tabela A). Estes valores se justificam pelo tamanho dos grãos e pela grande quantidade de poros presentes nas pastilhas. De acordo com Poole et al[10] um alto favorecimento no transporte de corrente é atribuído a placas com dimensões de aproximadamente  $1\mu\text{m}$ .

A tabela A mostra os resultados obtidos da densidade de corrente elétrica que atravessa estas amostras. Os resultados observados na tabela A estão coerentes com a análise estrutural, pois na figura 3B podemos observar a existência de uma grande quantidade de poros entre as placas, o que implica numa grande isolamento entre os grãos onde ocorre o transporte de corrente. Os estudos com a pastilha D estão sendo retomados devido a problemas de contato elétrico com os eletrodos.

**Tabela A. Medidas da densidade de corrente abaixo da temperatura crítica  $T_c$ .**

PASTILHA	J(A/cm <sup>2</sup> )	TEMPERATURA (K)
A	40	5
B	50	13
C	12	7



(A)

(B)

**Figura 3. Micrografia feitas com o microscópio eletrônico da superfície (A) e de uma fratura da pastilha (B).**

**Anais do 32º Congresso Brasileiro de Cerâmica  
18 a 21 de junho de 1994 - Blumenau - SC**

As análises realizadas no microscópio eletrônico (SEM/EDX) das grandes da superfície e de regiões de fratura de todas as pastilhas mostram a existência de algumas ilhas de material segregado e indicam que  $\text{Bi}_{2-x}\text{Pb}_x\text{Sr}_1-x\text{Ca}_x\text{Cu}_2\text{O}_y$  é uma possível composição química média dessas amostras. A pastilha B apresenta a menor concentração de chumbo, tanto numa análise global quanto em pequenas regiões. Em todas as pastilhas verificou-se a presença de placas, que é característica do sistema BSCCO[4]. A figura 3a mostra a estrutura de placas da superfície da pastilha (B) e a figura 3b mostra uma fratura dessa mesma pastilha. Podemos ver no primeiro caso que existe uma ligeira tendência das placas ( $\approx 10\mu\text{m}$ ) se orientarem paralelamente à superfície. Essa orientação é favorável ao transporte de corrente, que é preferencial no plano no plano Cu-O, ou seja, paralela às placas. Medidas de densidade de corrente mostraram  $50\text{A}/\text{cm}^2$  para a pastilha B, esse foi o maior valor obtido entre todas as outras pastilhas (vide Tabela A). Estes valores se justificam pelo tamanho dos grãos e pela grande quantidade de poros presentes nas pastilhas. De acordo com Poole et al[10] um alto favorecimento no transporte de corrente é atribuído a placas com dimensões de aproximadamente  $1\mu\text{m}$ .

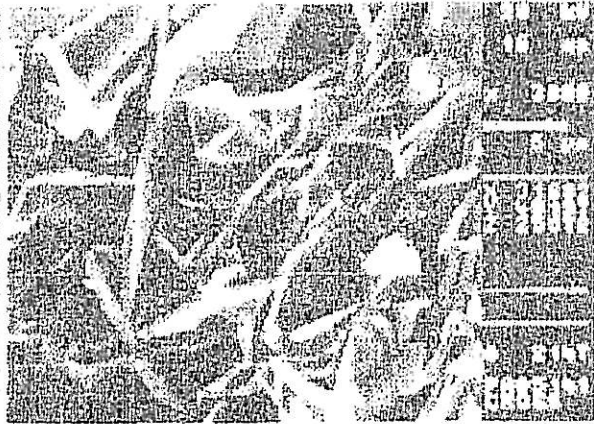
A tabela A mostra os resultados obtidos da densidade de corrente elétrica que atravessa estas amostras. Os resultados observados na tabela A estão coerentes com a análise estrutural, pois na figura 3b podemos observar a existência de uma grande quantidade de poros entre as placas, o que implica numa grande isolância entre os grãos onde ocorre o transporte de corrente. Os estudos com a pastilha D estão sendo retomados devido a problemas de contato elétrico com os eletrodos.

**Tabela A. Medidas da densidade de corrente abaixo da temperatura crítica  $T_c$**

PASTILHA	J(A/cm <sup>2</sup> )	TEMPERATURA (K)
A	40	5
B	50	13
C	12	7



(A)



(B)

**Figura 3. Micrografias feitas com o microscópio eletrônico da superfície (A) e de uma fratura da pastilha (B).**

**Anais do 38º Congresso Brasileiro de Cerâmica  
18 a 21 de junho de 1994 - Blumenau - SC**

## **CONCLUSÕES**

Cerâmicas supercondutoras do sistema BSCCO de composição nominal (2223) foi preparada com controle granulométrico dos grãos de 37, 44, 74 e 117 $\mu$ m. O valor da temperatura crítica não foi alterado ( $T_c \geq 110K$ ). Entretanto observou-se uma pequena variação de densidade de corrente. A análise das superfícies mostra a presença de placas de 10 $\mu$ m de largura por 15 $\mu$ m de comprimento com orientação favorável ao transporte de corrente.

## **AGRADECIMENTOS**

Nossos agradecimentos à FAPESP, CAPES E CNPq PELO suporte financeiro desse trabalho. Ao M.A.P. Silva, A.L. Rocha e M.S.G. Silva pelos trabalhos de microscopia eletrônica, difração de raios-X e desenhos respectivamente.

## **REFERÊNCIAS**

- [1] Kresin,V.Z. and Wolf,S.A., *Fundamentals of Superconductivity*, 1990 Plenum Press, New York.
- [2] Larbalestier, D.C., *MRS Bull.*, **17** (1992) 18.
- [3] Hunt,V.D., *Superconductivity Sourcebook*, 1989 John Wiley & Sons, Inc.
- [4] Hellstrom,E.E., *MRS Bull.*, **17** (1992) 45.
- [5] Fukushima,K., *Jpn.J.Appl.Phys.*, **29** (1990) L2195.
- [6] Dorris,S.E., Prorok,B.C., Lanagan,M.T., Sinha,S. e Poeppel,R.B., *Physica C*, **212** (1993) 66.
- [7] Chang,H.S.W.,Kao,C.H., Huang,J.C., Chou,Y.C., Hsieh,Y.C., Hsieh,Y.H. e Wu,M.K., *Mat. Lett.*, **16** (1993) 342.
- [8] Carvalho,C.L., Santos,D.I. and Aegerter, M.A., 1992 Spring Meeting of Materials Research Society, San Francisco.
- [9] Matheis,D.P. e Snyder,R.L., *Powder Diffraction*, **5** (1990) 8.
- [10] Poole,C.P., Datta,T., Farach,H.A., *Copper Oxide Superconductors*, 1988 John Wiley & Sons, Inc.